## АКАДЕМИЯ НАУК АРМЯНСКОЙ ССР АСТРОФИЗИКА

**TOM 11** 

АВГУСТ, 1975

выпуск з

### ПОЛЯРИЗАЦИОННЫЕ НАБЛЮДЕННЯ КОМПАКТНЫХ ВНЕГАЛАКТИЧЕСКИХ ОБЪЕКТОВ

М. К. БАБАДЖАНЯНЦ, В. А. ГАГЕН-ТОРН
Поступнав 4 мюдя 1474

Приводятся результаты полиризационных наблюдений идер сейфертовских галактия, N-галавтик 3С 371 и 3С 390.3 и вавзара 3С 345, выполненных в 1971—72 гг. Изменения наравитров поляризации у трек последник объектов сопоставлены с изменениями блеска. Для 3С 371 установлено существивание детальной корреляции между изменениями степени поляризации и блеска в августе 1972 г. и получена оценка степени поляризации у переменного жомпонента (14.4 %). У 3С 390.3 на основнии всех мижищихся данных о поляризации и блеске обнаружена корреляция на временной швале в несколько лет. Степень поляризации у переменного компонентя (3.7 %) и общее поведение поляризации очень похожи на таковые у NGC 4151. По своим оптическим хараятиристивам 3С 390.3, по-видимому, ближе к сейфертовским галактиком, чем в 3С 371.

Поляризационные наблюдения ядер сейфертовских и N-галактик и кназизвездных объектов (в особенности сопровождаемые оценками блеска) очень важиы для выяснения природы переменных компактиых источников издучения, находящихся в этих объектах. Такие наблюдения проводятся в Астрономической обсерватории Ленинградского университета с 1965 г. и результаты их за 1965—1970 гг. собраны в работах [1, 2]. Здесь будуг приведены результаты наблюдений, выполненных в 1971, 1972 и частично 1973 годах.

Аппаратура и методика поляризационных наблюдений остались прежинии [2]. Для некоторых объектов параллельно с наблюдениями поляризации были получены фотоэлектрические оценки блеска в системе B, V (относительно звезд сравнения, указанных в [2]), для других оказалось нозможным использовать фотографические данные о блеске, полученные в ходе выполнения программы слежения за компактными внегалактическими объектами, ведущейся в AO  $A\Gamma Y$ .

Сейфертовские галактики. Наблюдения сейфертовских галактик, полученные в 1966—70 гг., уже позволили сделать заключения а природе локализованных в их ядрах источников, ответственных за поляризацию и переменность [3]. Поэтому в 1971—73 гг. были выполнены лишь отдельные, отрывочные наблюдения, результаты которых мы тем не менее считаем полезным привести здесь. Они даются в табл. 1. Всегда использовалась диафрагма диаметром 26". Столбец  $n_r/n_\phi$  дает отношение потоха от галактики к потоку от фона неба во время проведения поляризационных наблюдений.  $z_0$  — среднеквадратичное уклонение, оцененное из внутренней сходимости результатов отдельных серий (как правило, наблюдение состояль из четырех серий, в каждой из которых определялись относительные параметры Стоксв  $p_x$  и  $p_y$ , и занимало около  $1^h$ 5). Знаком (:) помечены неуверенные наблюдения — для них значение  $\sigma_p$  чисто формальное. Точность наблюдений NGC 1275 осенью 1972 г. оказалась ниже обычкой из-за неблагоприятных атмосферных условий.

В целом результаты наблюдений сейфертовских галактик, приведенные в табл. 1, не противоречат данным работ [1, 2] и выводам, сделанным в [3] $^{\circ}$ .

N-галактики. Наблюдения N-галактик 3C 371 и 3C 390.3, выполненные в 1968—1970 гг., показали, что параметры поляризации их излучения переменны, причем у 3C 271 было отмечено увеличение степени поляризации во время всплеска излучения [2]. Поэтому именно этому объекту было уделено основное внимание в 1971—72 гг. Результаты наблюдений 3C 371 и 3C 390.3 приводятся в табл. 2, которая построена аналогично табл. 1. Все наблюдения выполнены с диафрагмой 26" в интегральном свете (мультищелочной катод, 1 в 20.53 гг).

3С 371.— Результаты наблюдений 3С 371 представлены графически на рис. 1, где они сопоставляются с кривой блеска, нанесенной по данным работ [4, 5]. Точки, соответствующие неуверенным поляризационным наблюдениям, обведены кружком.

Рассмотрение таба. 2 и рис. 1 появоляет сделать следующие заключения. Степень поляризации изменяется от 1.5 до 6.5%; существование изменений в направлении поляризации также несомиенно. Если взять только уверенные наблюдения, то для 1971 г.  $0_0 = 21^{\circ} \pm 6^{\circ}$ , для 1972 г.— $0_0 = 84^{\circ} \pm 2^{\circ}$  (сюда не включено наблюдение 20—21.6.72 г., явно свидетельствующее о существовании довольно быстрых изменений; некоторые изменения угла.

<sup>\*</sup> Польнувсь случаем, вы котим исправить допущенную нами в работе [3] ошибку в оценке напраженности магнитного поля в вдре NGC 4151. На самом деле вместо равенства [ $g_{\gamma_1} = 10.0$  имеет место перавенство [ $g_{\gamma_1} = 10.0$ , а в этом случае получить оценку напраженности поля, используя полученное в [3] неравенство R < 0.008  $m_{C_1}$  недава.

| Галантика | Дата        | J. D.<br>2441000+ | Фильтр | P + *p (0/0) | 00 + =00  | $\frac{n_{\pi}}{n_{\Phi}}$ | В      | B-V    | Примечания          |
|-----------|-------------|-------------------|--------|--------------|-----------|----------------------------|--------|--------|---------------------|
| NGC 1068  | 14-15.10.71 | 239.48            |        |              |           |                            | 11.08  | +0.63  |                     |
|           |             | 239.52            | В      | 0.6+0.2      | 112+ 9    | 26.0                       |        |        |                     |
|           |             | 239.55            | V      | 0.7+0.4:     | 94+15:    | 17.5                       |        |        | Мала продолж. набл  |
| NGC 1275  | 26-27. 8.71 | 190.49            |        |              |           |                            | 13.20  | +0.61  |                     |
|           | 15-16.10.71 | 240.43            |        |              |           |                            | 13.21  | +0.55  | 119170              |
|           |             | 240.51            | 8      | 3.1+0.5      | 98+ 4     | 6.6                        |        |        |                     |
|           | 17-18.10.71 | 242.51            | v      | 1.7±0.6:     | 77±10:    | 3.9                        |        |        | Неувер. учет фона   |
|           | 1718. 8.72  | 547.44            |        |              |           |                            | 13 20: | +0.51: | Нестабильи, прозр.  |
|           |             | 547.48            | 8      | 1.6+0,5:     | 106+ 9:   | 4.2                        |        |        | пестионави, прозр.  |
|           | 2 - 3.10.72 | 593.45            | В      | 2.1+0.6      | 141± 8    | 6.7                        |        |        |                     |
|           |             | 593.54            | R      | 3.1 : 0.6    | 149 6     | 5.6                        | i      |        | 27100000            |
|           | 6- 7.10.72  | 597.41            | В      | 0.8+0.5      | 152+18    | 6.0                        |        |        | 2122                |
|           |             | 597.43            |        |              |           |                            | 13.28  | _      |                     |
|           |             | 597.51            | v      | 1.2-0.5      | 125+12    | 5.3                        |        |        | 2 2 2 2 2           |
|           | 8- 9.10.72  | 599.54            | R      | 1.3+0.8:     | 136 ± 19: | 4.2                        |        |        | Маха продоля, набл. |
|           |             | 599.56            |        |              |           |                            | 13.35  | 0.67   |                     |
|           | 10-11.11.72 | 632.27            | В      | 0.9±0.7:     | 141 + 22: | 3.6                        |        |        | Нестабильи, провр.  |
|           | 29-30.11.72 | 651.23            | V      | 1.7±0.4      | 122 ± 7   | 4.0                        |        |        |                     |
|           | 30- 1.12.72 | 652.37            | V      | 1.4±0.7      | 105+14    | 3.9                        |        |        |                     |
|           |             | 652.52            |        |              |           |                            | 13.63  | +0.62  |                     |
|           | 24-25. 1.73 | 707.22            | V      | 1.0+0.6      | 134+17    | 2.6                        |        |        |                     |
| NGC 3516  | 15-16. 3.72 | 392.51            |        |              |           |                            | 12.91  | -      | 7 1 1 1 1           |
|           |             | 392.53            | В      | <0.3         |           | 6.0                        |        |        |                     |
| NGC 4151  | 23-24. 5.71 | 095 35            |        |              |           | 1                          | 12.07  | - 0.43 |                     |
|           | 10-11, 7.72 | 509.27            |        |              |           |                            | 12.48  | ÷0.51  |                     |
|           | 11-12. 7.72 | 511.28            |        |              |           |                            | 12.54  | +0.58  |                     |
| 3C 120    | 25-26.10.71 | 249.51            |        |              |           |                            | 14.85  | +0.53  |                     |
|           | 4- 5, 3.73  | 746.24            | 6. 0.  | 1.5+0.7      | 142+12    | 0.7                        |        |        |                     |

РЕЗУЛЬТАТЫ НАБЛЮДЕНИЙ N-ГАЛАКТИК

Таблица 2

| Объект | Дата         | J. D.<br>2441000 | アナル      | 40 to 12 | $\frac{n_{\Gamma}}{n_{\Phi}}$ | Примечания          |
|--------|--------------|------------------|----------|----------|-------------------------------|---------------------|
| 3C 371 | 23-24. 5.71  | 095.5            | 3.7+1.2  | 61± 9:   | 0.9                           | Мала продолж. набл. |
|        | 22-23. 7.71  | 155.5            | 1.7+0.7  | 30±12    | 1.2                           |                     |
|        | 26-27-7.71   | 159.5            | 6.3+0.7  | 27 + 3   | 0.8                           |                     |
|        | 29-30. 7.71  | 162.5            | 6.5+1.0  | 18+ 4    | 1.0                           |                     |
|        | 31- 1. 8.71  | 164.5            | 5.2±0.8  | 38+ 4    | 0.7                           |                     |
|        | 18-19. 8.71  | 182.5            | 1.5+0.5  | 172±10   | 0.9                           |                     |
|        | 21-22. 9.71  | 216.5            | 5.5+0.4  | 18+ 2    | 1.4                           |                     |
|        | 6-7.4.72     | 414.5            | 4.01.6:  | 112+11:  | 0.7                           | DE 66 M             |
|        | 15 -16 4.72  | 423.5            | 2.1+0.7: | 45+ 9:   | 1.1                           | Неувер, учет фона   |
|        | 21-22. 5.72  | 459.5            | 1.4+1.0: | 54+20:   | 0.7                           | Маха продолж. набл. |
|        | 20 21 6.72   | 489,5            | 4.3+0.6  | 154± 4   | 1.1                           |                     |
|        | 18-19. 7.72  | 517.5            | 4.0+0.5  | 85 ± 4   | 1.0                           |                     |
|        | 4- 5, 8,72   | 534.5            | 3.5+0.7  | 78+ 6    | 1.3                           |                     |
|        | 5- 6. 8.72   | 535.5            | 4.2+0.5  | 89÷ 3    | 1.0                           |                     |
|        | 6- 7. 8.72   | 536.5            | 3.7+0.8  | 88 - 6   | 8.0                           |                     |
|        | 8 9. 8.72    | 538.5            | 5.1±0.3  | 88± 2    | 1.1                           |                     |
|        | 10-11. 8.72  | 540.5            | 4.7±0.5  | 74± 3    | 1.2                           |                     |
|        | 15-16. 8.72  | 545.5            | 3.7±0.5  | 77± 4    | 1.2                           |                     |
|        | 2- 3, 9,72   | 563.3            | 5.9±0.8  | 74± 4    | 0.9                           |                     |
|        | 10-11. 9.72  | 571.5            | 5.2+0.6  | 85 3     | 1.0                           |                     |
|        | 16-17, 9.72  | 577.5            | 5.6+0.8  | 82+ 4    | 0.8                           |                     |
|        | 17 -18. 9.72 | 578.5            | 5.9+0.6  | 90十 3    | 0.5                           |                     |
|        | 30-31.10.72  | 621.5            | 5.6+0.8  | 95+ 4    | 0.9                           |                     |
|        | 9-10.11.72   | 631.5            | 1.8±0.9  | 90+5     | 0.7                           |                     |
|        | 24-25. 7.71  | 157.5            | 1.6+0.5  | 162 + 5  | 1.0                           |                     |
|        | 18-19. 8.71  | 182.5            | 3.5+0.8: | 153 7:   | 8.0                           | Нестабильи, прозр.  |
|        | 23-24, 8.71  | 187.5            | 1.6+0.6  | 4 ± 10   | 3.7                           | Днафрагма 13"       |
|        | 4- 5. 8.72   | 534.5            | 1.6±1.5: | 142+26:  | 0.5                           | Мала продолж. набл. |
|        | 7 - 8. 8.72  | 537.5            | 1.6+1.6  | 165+28   | 0.6                           |                     |
|        | 10-11. 8.72  | 540.5            | 1.6+2.4  | 168+42   | 0.4                           |                     |
|        | 16-17. 9.72  | 577.5            | 4.1-1.0  | 161+7    | 0.4                           |                     |
|        | 27-28. 6.73  | 861.5            | 1.7+1.2  | 163 ± 20 | 0.4                           |                     |

вероятно, имели место и в 1971 г.). Таким образом от сезона к сезону направление поляризации изменилось примерно на 60°. Вместе с тем, начинал с июля 1972 г. и до конца года, оно оставалось практически неизменным.

Связь между степенью полярнзации и блеском носит сложный характер. В 1971 г. плавное изменение блеска в период J. D. 2441159.5—216.5 как будто бы сопровождалось изменением степени полярнзации, коррелирующим с изменением блеска. Однако наблюдение J. D. 2441155.5, полученное при приблизительно том же блеске, что и последующие два наблюдения, дает существенно меньшую степень полярнзации. В 1972 г. степень полярнзации в сентябре в среднем была больше, чем в августе, хотя блеск был заметно меньше.

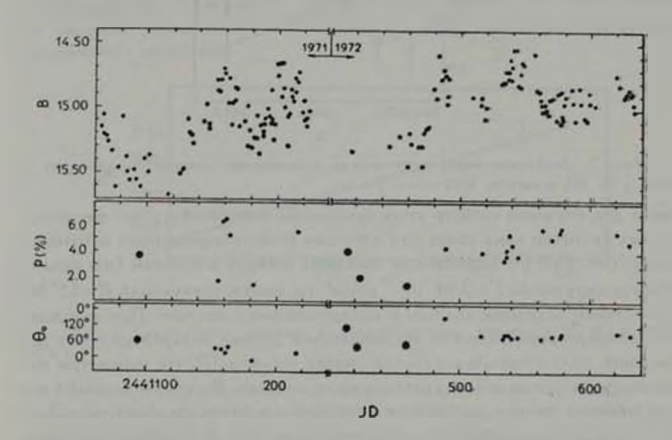


Рис. 1. Сопоставление результатов полиризационных наблюдений 3C 371 с кривой блеска (1971—72 гг.).

Чрезвычайно интересным нам представляется существование детальной корреляции между изменениями степени поляризации и блеска в августе 1972 г. Необходимые данные собраны в табл. 3. В первом столбце дается J. D., во втором — степень поляризации, в третьем — величина В и ее среднеквадратичная ошибка по данным работы [5] (в скобках указано число исгативов, по которому получена оценка блеска). Результаты представлены графически на рис. 2. Изменения превышают возможные ошибки наблюдений (хотя и незначительно), и мы считаем их реальными и взаимосвязанными, поскольку вероятность подобного случайного совпадения в поведении степени поляризации и блеска крайне мала. Отметим, что наблюдения получены при превосходных атмосферных условиях.

Наблюдаемая корреляция получает наиболее естественное объяснение. если считать, что в излучении 3С 371 имеется компонент переменной интенсивности, ответственный также и за изменения степени поляризации. Поскольку направление поляризации можно считать неизменным  $(\overline{\theta}_0 = 82^\circ \pm 3^\circ$  и ни для одного наблюдения уклонение не достигает 30).

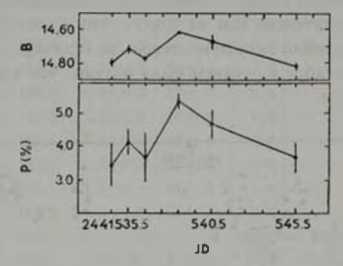


Рис. 2. Детальная корреляция между изменениями степени поляризации и блеска у ЗС 371 в августе 1972 г.

можно для изучения свойств этого компонента использовать тот же метод, что был применен нами ранее при изучении свойств переменного источника в ядре NGC 4151 [3]. Перейдем от звездных величин к потокам (мы приняли за единицу поток  $F=2.94\cdot 10^{-29}$  в $m/{\rm M}^2\cdot 1{\rm g}$ , соответствующий  $B=15^{\circ\prime\prime}50$ ) и сопоставим пеличны полного и поляризованного потоков. При нахождении поляризованных потоков мы используем данные поляризационных наблюдений, полученных без фильтра, считая согласно [2], что параметры поляризованных потоков приводятически не зависят. Величины полных и поляризованных потоков приводятся в четвертом и пятом столбцах табл. 3, и связы между ними графически представлена на рис. 3. Ошибки указаны в соответствии с данными табл. 2 и 3 (10).

 $Ta6_{AHB}a$  3 СВЯЗЬ МЕЖДУ СТЕПЕНЬЮ ПОЛЯРИЗАЦИИ И БЛЕСКОМ У 3С 371 В АВГУСТЕ 1972 г.

| J. D.<br>24410004 | P (%) | B ± ≈,                                   | F<br>(15 <sup>m</sup> 50~1) | Fr     |  |
|-------------------|-------|--|-----------------------------|--------|--|
| 534.5             | 3.5   | 14 <sup>m</sup> 79:±0 <sup>m</sup> 02(8) | 1.923                       | 0.0673 |  |
| 535.5             | 4.2   | 14.71 +0.03(7)                           | 2.070                       | 0.0868 |  |
| 536.5             | 3.7   | 14.77+0.01(8)                            | 1.959                       | 0.0725 |  |
| 538.5             | 5.4   | 14.62+0.00(2)                            | 2.249                       | 0.1214 |  |
| 540.5             | 4.7   | 14.67±0.04(10)                           | 2.148                       | 0.1010 |  |
| 545.5             | 3.7   | 14.82 +0.03(8)                           | 1.871                       | 0.0692 |  |
|                   |       |  |                             |        |  |

Точки удовлетворительно ложатся на прямую линию, так что изменения, наблюдавшиеся в августе 1972 г., могут быть объяснены существованием источника, интенсивность которого переменна, но степень поляризации постоянна. Уравнение прямой, найденное способом наименьших квадратов.

$$F_p = 0.144 F - 0.208.$$

$$+ 0.015 + 0.031$$

Степень поляризации излучения переменного источника дается угловым комффициентом и составляет, следовательно, 14.4% ± 1.5%. Столь высокое се значение указывает на нетепловую, вероятно, снихротронную природу переменного источника.

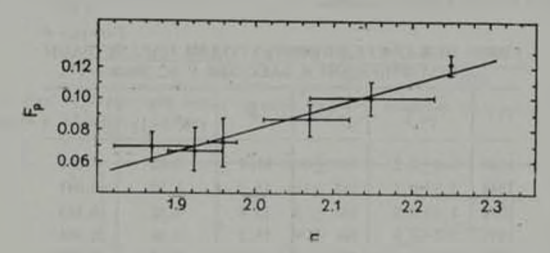


Рис. 3. Связь между полиым и поляризованным потоком у 3С 371 в августе 1472 г.

В случае, если налучение, на которое накладывается переменное излучение, не поляризовано, поток его дается точкой пересечения прямой с осью абсинсе.  $\mathcal{A}$ ля  $F_p = 0$  получаем F = 1.44, что соответствует  $B = 15^{\circ}1$ . Поскольку это превышает минимальный наблюдавшийся блеск (B = 15 "8), можно заключить, что в 3C 371 имеется еще по крайней мере один переменный компочент. Излучение его, вообще говоря, также может быть поляризованным. Тогда на основании данных табл. 3 оценить вклад отдельных компочентов в суммарное излучение нельзя, но оценка степени поляризации у переменного источника остается прежней.

Заметим еще, что если на графике, дающем зависимость  $F_{\phi}$  от  $F_{c}$  точки располагаются вдоль кривой, это означает, что степень поляризации переменного источника непостоянна. Расположение точек на рис. 3, возможню, ухазывает на очень слабую тенденцию к увеличению степени поляризации переменного источника с увеличением блеска. Однако систематическое уклонение точек от прямой гораздо меньше, чем ошибки наблюдений.

3С 390.3.— Для этой N-галантики в 1971—73 гг. были выполнены лишь отрывочные наблюдения Блеск ее в 1972—73 гг. сильно ослабел, так что точность в определении параметров поляризации заметво уменьшилась. Тем не менее можно заметить общую тенденцию к уменьшению степени поляризации с уменьшением блеска, подтверждаемую табл. 4, в которой даются средние по годам значения параметров поляризации (для 1968—70 гг. использованы данные работы [2], для 1971—73 гг.— результаты из табл. 2) и средний блеск во время проведения поляризационных наблюдений (для 1968—72 гг. в соответствии со сводной кривой блеска из [5], для 1973 г. согласно нашим фотографическим определениям). Графически данные табл. 4 представлены на рис. 4, где отмечены периоды времени, на которые производилось усреднение. Корреляция между изменениями степени поляризации и блеска хорошо заметна.

Таблида 4 СВЯЗЬ МЕЖДУ СРЕДНИМИ ПО ГОДАМ ПАРАМЕТРАМИ ПОЛЯРИЗАЦИИ И БЛЕСКОМ У 3С 390.3.

| 159 + 9 | 15 <sup>m</sup> 1                        | 3.02   | 0.091  |
|---------|--|--|--|
| 153 +15 | 15.8                                     | 1.58   | 0.041  |
| 146 ± 5 | 15.0                                     | 3.32   | 0.113  |
| 166 ± 9 | 15.2                                     | 2.76   | 0.061  |
| 159 ± 5 | 15.7                                     | 1.74   | 0.038  |
| 163 +20 | 16.3                                     | 1.00   | 0.017  |
|         | 153 ±15<br>146 ± 5<br>166 ± 9<br>159 ± 5 | 153 ±15 15.8<br>146 ± 5 15.0<br>166 ± 9 15.2<br>159 ± 5 15.7 | 153 ±15 15.8 1.58<br>146 ± 5 15.0 3.32<br>166 ± 9 15.2 2.76<br>159 ± 5 15.7 1.74 |

Отметим, что направление поляризации от сезона к сезону почти не изменяется. Это позволяет построить график  $F_{\rm p}$  в зависимости от F, приведенный на рис. 5 (значения F и  $F_{\rm p}$  даются в пятом и шестом столбцах табл. 4), и определить степень поляризации переменного компонента и поток от галактической подложки. Уравнение прямой на рис. 5, полученное способом наименьших квадратов.

$$F_p = 0.037 F - 0.023.$$
  
= 0.006 ± 0.014.

Следовательно, p=3.7=0.6%,  $F_{\rm rha}=0.62$ , чему соответствует  $B_{\rm rea}=16^{\rm m}8$ . Это значение находится в неплохом согласии с оценкой, полученной в работе [6], где по фотометрическим наблюдениям 3С 390.3, выполненным с разными диафрагмами, найдено  $B_{\rm rea}=16^{\rm m}6$ . Мы отдаем себе отчет в том, что построение графика на рис. 5 не вполне законно, так как у 3С 390.3 в действительности имеются некоторые изменения направления поляризации [2]. Поэтому полученные нами значения p=3.7% и  $B_{\rm rea}=16^{\rm m}8$  следует рассматривать лишь как оценки.

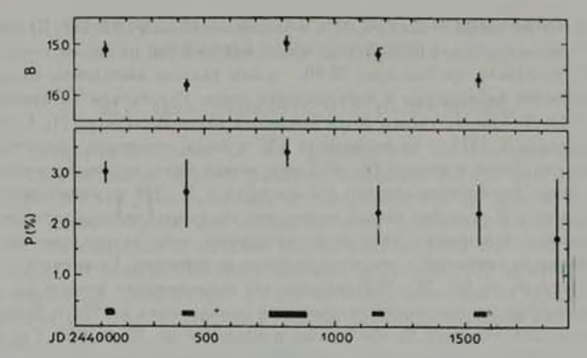


Рис. 4. Корреляция между средней по годам степетью поляризации и средним блеском у 3С 390.3.

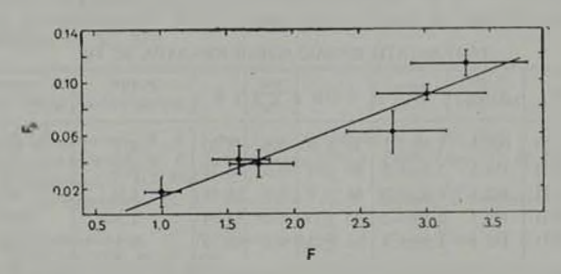


Рис. 5. Связь между полным и поляривованным потоком у ЗС 370,3

В заключение этого раздела мы хотим отметить, что N-галактики 3C 371 и 3C 390.3, названия которых сплошь и рядом встречаются вместе, в сущности совсем не похожи друг на друга по своим оптическим характеристикам. У 3C 371 амиссионные линии в спектре крайне слабы [7], тогдз как 3C 390.3 показывает сильнейший, возможно переменный амиссионный спектр сейфеотовского типа [8]: у 3C 371 наблюдаются быстрые, типа «вспышек», изменения блеска и поляризации, у 3C 390.3 их нет [5]; поведение поляризации 3C 390.3 очень похоже на таковое у NGC 4151 [3]. По оптическим характеристикам 3C 390.3 несравнению ближе к сейфертовским галактикам, чем к 3C 371. Возможно, правда, что эти различия вызваны просто гораздо более высокой активностью нетеплового компонента в ядре 3C 371.

Квазизвездный объект ЗС 345. В миним, ме блеска (В 17 0) квазар ЗС 345 недоступен для фотовлектрических наблюдений на нашем телескопе В 1971 г., однако, он был ярче 16 "О, и нам удалось выполнить его поляонзационные наблюдения в интегральном свете. Результаты их приводятся в таба. 5. Там же указан блеск клазара в цвете В согласно [4]. Степень поляризации в 1971 г. не превышала 4% и была примерто постоянной. Правда, во время вспышки 29-30.7 она, может быть, несколько уменьшилась. Ранее уменьшение степени поляризации у 3С 345 во время вспышет: отмечалось в 19, где был сделан вывод, что излучение, непосредственно отиетственное за вспышку, либо не поляризовано, либо направление его позяризации не совпадает с тем, которое было до вспышки. Если считать, что увеличение во до 66° 29-30.7 реально, это подтверждает вторую возможность. Вообще же изменения направления поляризации в 1971 г. были непелики — все значения 00 заключены в пределах от 39 до 66°. Согласия Висванатану [10, в 1967-69 гг. направление поляризации также большей частью было заключено в интервале 36—79°.

РЕЗУЛЬТАТЫ НАВЛЮЛЕНИЙ КВАЗАРА ЗС 345

Тиблица 5

| Дата       | J. D.<br>2441000+ | P#29<br>(P/d) | 0±5 <sub>8</sub> , | Rud<br>Rud | B     | F-1026<br>************************************ | F <sub>b</sub> -10 <sup>18</sup><br>эрі/сек см²-іц |
|------------|-------------------|---------------|--------------------|------------|-------|--|--|
| 26 27.5.71 | 098.5             | 3.5±1.1       | 46 ± 8             | 0.5        | 15"57 | 2.7  | 9.4  |
| 21-22.7.71 | 154.5             | 3.8 ±1.5      | 39 ±11             | 0.5        | 15.75 | 2.3  | 8.7  |
| 29-30,7.71 | 162.5             | 1_6 = 0.5     | 66 ± 9             | 8.0        | 15.16 | 4.0  | 6.4  |
| 19 20.8.71 | 183.5             | 2.8±1.5:      | 46 ±13:            | 1.3*       | 15.94 | 1.9  | 5.3  |
| 28 29.8.71 | 192.5             | 2.6±1.4       | 54 ±15             | 0.5        | 15.73 | 2.3  | 6.0  |

Наблюдение сделано е диафрагмой 13° (остальные е диафрагмой 26°).

В [10, найдено, что поляризация имеется и при минимальном блеске кназара, причем величина поляризованного потока в цвете В в это время составляет около  $4\times 10^{-10}$  вресектем<sup>2</sup>ти. Значения поляризованного потока, приведенные в восьмом столбце табл. 5, заметно превышают эту величину (при нахождении их мы воспользовались тем, что степень поляризации у 3С 345 не зависит от длины волны [10]. Это указывает, что излучение, ответственное за увеличение блеска 3С 345 в 1971 г., поляризовано. Для проведения более детального рассмотрения необходимо иметь более общириме и точные наблюдательные данные.

Аенинградский государственный университет

# POLARIMETRIC OBSERVATIONS OF COMPACT EXTRAGALACTIC OBJECTS

### M. K. BABADZHANIANTS, V. A. HAGEN-THORN

The results are given of the polarimetric observations made in 1971—1972 of nuclei Seyfert galaxies, N-galaxies 3C 371 and 3C 390.3 and QSS 3C 345. The variations of the parameters of polarization for the last three objects are compared with brightness variations. For 3C 371 the existence of detailed correlation between the variations of the degree of polarization and brightness in August 1972 is established. The degree of polarization of the variable component is found to be equal to 14.4%. For 3C 390.3 all available data on polarization and brightness show that there is a correlation on a time-scale of years. The degree of polarization of the variable component (3.7%) and general behaviour of polarization strongly resemble those of NGC 4151. By its optical properties 3C 390.3 seems to be closer to Seyfert galaxies rather than to 3C 371.

### **ЛИТЕРАТУРА**

- 1. В. А. Домбровский, В. А. Газен-Тори, Астрофизика, 4, 409, 1968.
- 2. В. А. Домбровский, М. К. Бибаджиняну, В. А. Гилен-Торн, С. М. Гутксвич, Астрофизика, 7, 417, 1971.
- М. К. Бабад таняну. В А. Ганен-Тори, В М. Аютый, Астрофикика, 8, 509, 1972.
- М. К. Бабад жанянц, С. К. Винокуров, В. А. Газек-Торк, Е. В. Семенова, Труды АО ЛГУ, 30, 69, 1974.
- М. К. Бабаджинянц, С. К. Винокуров, В. А. Газен-Торн, Е. В. Семенова. Труды АО АГУ, 31, 100, 1975.
- 6. M. V. Penston, M. J. Penston, M. N., 162, 109, 1973.
- 7. A. Sandage, Ap. J., 145, 1, 1956.
- 8. E. M. Burbidge, G. R. Burbidge, Ap. 1, 163, L21, 1971.
- T. D. Kinman, E. Lamla, T. Ciurla, E. Hurlan, C. A. Wirtanen, Ap. J., 152, 357, 1968.
- 10. N. Vissanathan, Ap. J., 179, 1, 1973.